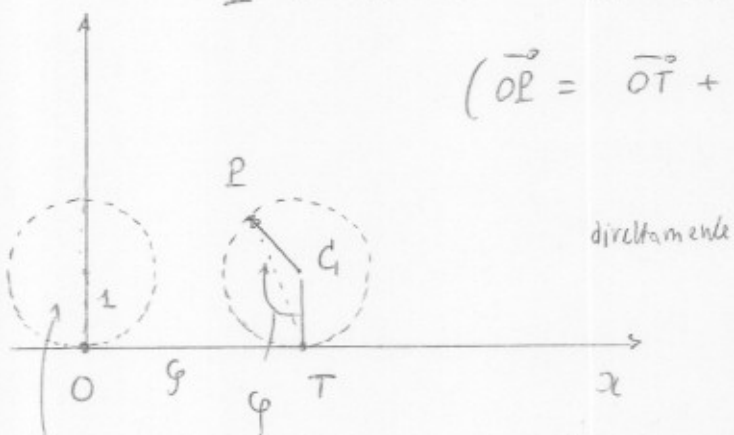


* L'evoluta di una ocloide è una ocloide
(C. Huygens, "Horologium oscillatorium")

$$P = P - O = (P - C) + (C - T) + (T - O) = \sqrt{7}$$

$$(\vec{OP} = \vec{OT} + \vec{CT} + \vec{CP}) \quad \left. \begin{array}{l} \varphi i + j \\ e^{-i\varphi} j \end{array} \right\}$$



direttamente

$$\left\{ \begin{array}{l} x = \varphi - \sin \varphi \\ y = 1 - \cos \varphi \end{array} \right.$$

$$\varphi \in \mathbb{R}$$

altezzazione...

$$\varphi i + j (1 - e^{-i\varphi})$$

$$= \varphi i +$$

$$j (1 - \cos \varphi) -$$

$$- i \sin(-\varphi)$$

i v:

$$= \varphi i +$$

$$j (1 - \cos \varphi) +$$

$$- i j (- \sin \varphi)$$

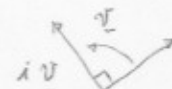
$$\|i\| =$$

$$(\varphi - \sin \varphi) i +$$

$$(1 - \cos \varphi) j$$

* Centro di curvatura

$$P + \frac{\|P'\|^2}{\langle iP', P'' \rangle} \cdot iP'$$



$$P = (\varphi - \sin \varphi) i + (1 - \cos \varphi) j$$

$$P' = (1 - \cos \varphi) i + \sin \varphi j$$

$$iP' = (1 - \cos \varphi) \underbrace{i}_j \underbrace{i}_i + \underbrace{\sin \varphi i}_j \underbrace{j}_i$$

$$= - \sin \varphi i + (1 - \cos \varphi) j$$

$$= P - T$$

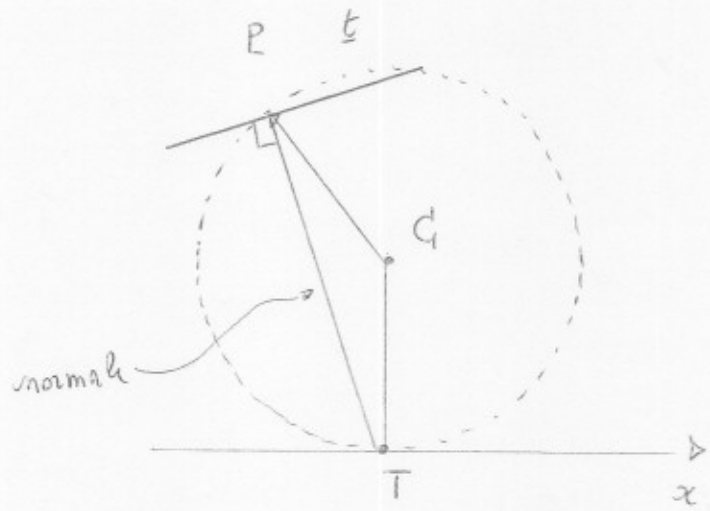
$$(\text{infatti } P - T = (\varphi - \sin \varphi) i + (1 - \cos \varphi) j - \varphi i)$$

Si ricorda anche che dato

$$\begin{aligned} z &= x_1 + iy_1 \\ w &= x_2 + iy_2 \end{aligned}$$

$$z \bar{w} = (x_1 - iy_1)(x_2 + iy_2)$$

$$\begin{aligned} &= (x_1 x_2 + y_1 y_2) + i(x_1 y_2 - x_2 y_1) + \text{area} \\ &\quad \text{orient.} \end{aligned}$$



Proseguiamo:

$$\begin{aligned}\|P'\|^2 &= (1 - \cos\varphi)^2 + \sin^2\varphi \\ &= 2 - 2\cos\varphi = 2(1 - \cos\varphi)\end{aligned}$$

$$P'' = \sin\varphi \underline{i} + \cos\varphi \underline{j}$$

$$iP' = -\sin\varphi \underline{i} + (1 - \cos\varphi) \underline{j}$$

$$\langle iP', P'' \rangle = -\sin^2\varphi + \cos\varphi(1 - \cos\varphi) = \cos\varphi - 1$$

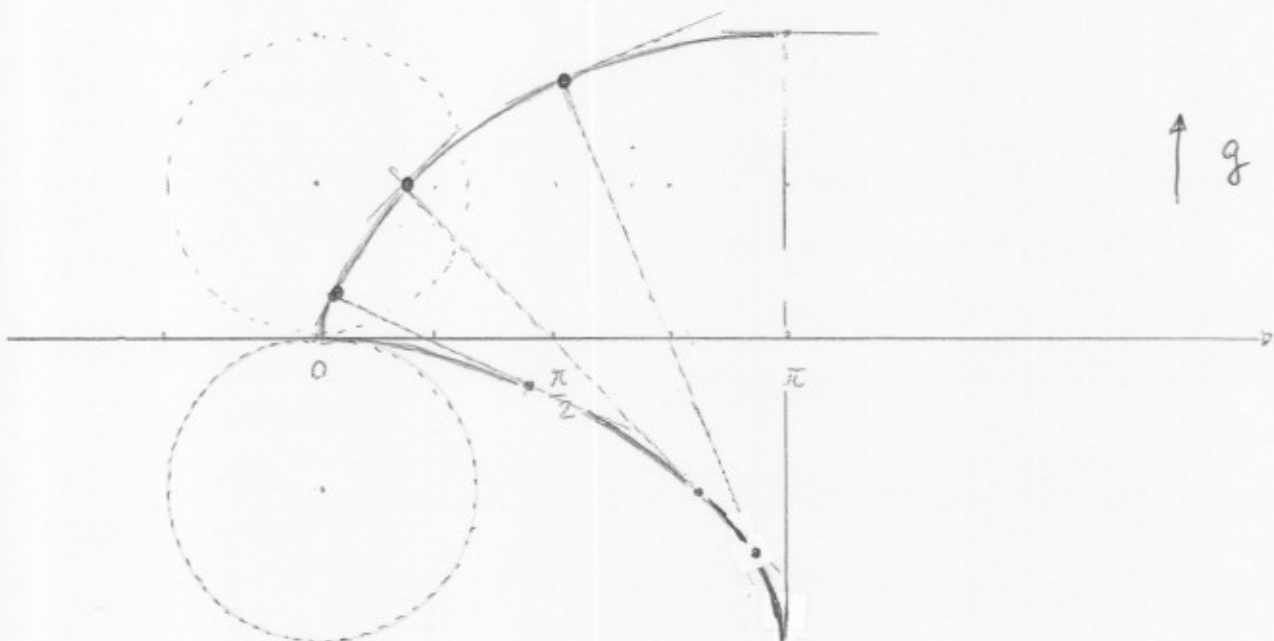
$$\Rightarrow Q = P + 2(T - P) \quad \left[\begin{array}{l} \text{il doppio della} \\ \text{lunghetra della} \\ \text{normale} \end{array} \right]$$

$$Q = (\varphi - \sin\varphi) \underline{i} + (1 - \cos\varphi) \underline{j} + 2(\sin\varphi \underline{i} + (\cos\varphi - 1) \underline{j})$$

$$= (\varphi + \sin\varphi) \underline{i} - (1 - \cos\varphi) \underline{j}$$

che è ancora una circoida (v. figura)

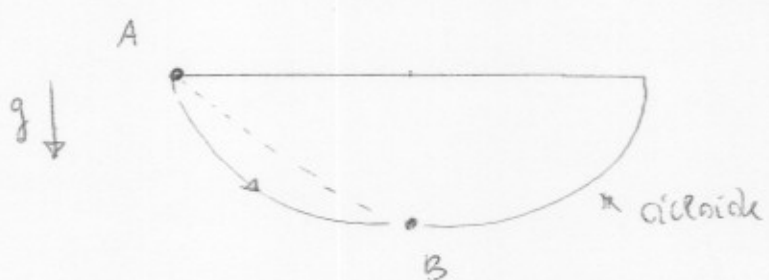
Le proprietà evidenziate aggiornano il tracciamento
della curva \rightarrow



* così funziona il pendolo cicloidale (si rovesci la figura)

[le oscillazioni sono isotrope]. Per questo

la cicloidale è detta trombiculina, ed è anche
brachistocrona: una pallina pesante
 impiega il minor tempo per andare da A a B
 lungo una cicloidale



L'equazione differenziale della cicloide

$$\begin{cases} x = t - \sin t \\ y = 1 - \cos t \end{cases} \quad t \in \mathbb{R}$$

$$dx = (\underbrace{1 - \cos t}_y) dt \quad y \geq 0$$

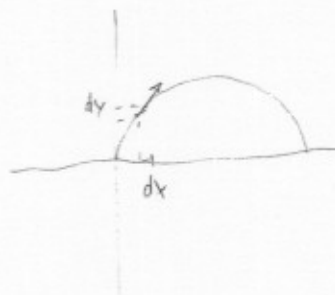
$$dy = \sin t dt$$

da $\sin^2 t + \cos^2 t = 1$ si ha, successivamente,

$$\sin^2 t = 1 - \cos^2 t = (1 - \cos t)(1 + \cos t)$$

$$\text{e } (1 - \cos t) + (1 + \cos t) = 2$$

$$\Rightarrow \sin^2 t = y(2-y)$$



$$\sin t = \pm \sqrt{y(2-y)}$$

$$\frac{dy}{dx} = \frac{\sin t}{1 - \cos t} = \pm \sqrt{\frac{y(2-y)}{y^2}} = \pm \sqrt{\frac{2-y}{y}}$$

$y \neq 0$

$$\boxed{dx = dy \sqrt{\frac{y}{2-y}}}$$

(scegliendo +)

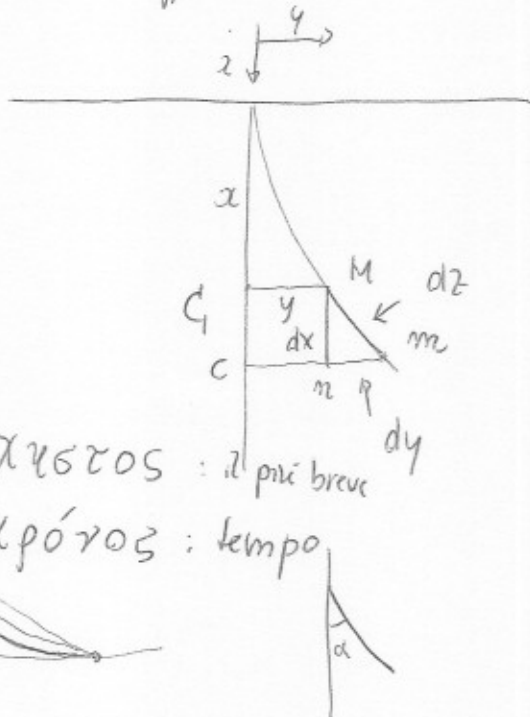
* La brachistocrona⁽⁺⁾

(cf. E. Gunthi Piccola storia
del calcolo infinitesimale
dall'antichità al novecento)

la soluzione di Johann Bernoulli

* Principio di Fermat

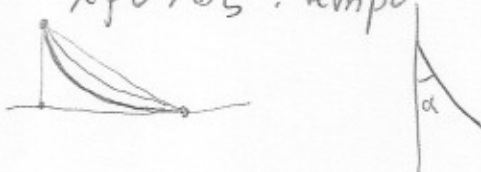
* Legge dei seni (Snell-Cartesio)



(+)

$\beta\rho\alpha\chi\nu\zeta\cos$: il più breve

$\chi\rho\gamma\cos$: tempo



$$\text{tg} \alpha = \frac{dy}{dx} = \frac{1}{a} v \quad \begin{matrix} \text{const. di prop.} \\ \text{velocità della luce nel mezzo} \end{matrix}$$

$$a dy = v dz$$

$$\begin{aligned} a^2 dy^2 &= v^2 dz^2 = \\ &= v^2 (dx^2 + dy^2) \end{aligned}$$

* m

$$v^2 = ax \Rightarrow (a^2 - v^2) dy^2 = v^2 dx^2$$

l' velocità acquisita

$v = \sqrt{2gx}$ da una grane in caduta

libera ($\frac{v(0)}{x(0)} = 0$)

$$a = 2g$$

\Rightarrow

$$d(a-x) dy^2 = dx \cdot dx^2$$

$$dy = dx \sqrt{\frac{x}{a-x}}$$

che è l'equaz. diff. della cicloide!

♦ L'equivalente (o moluta) di una catenaria è una trattrice

* Catenaria: $\ell \quad y = \cosh x = \frac{e^x + e^{-x}}{2}$

curva lungo

in quale si

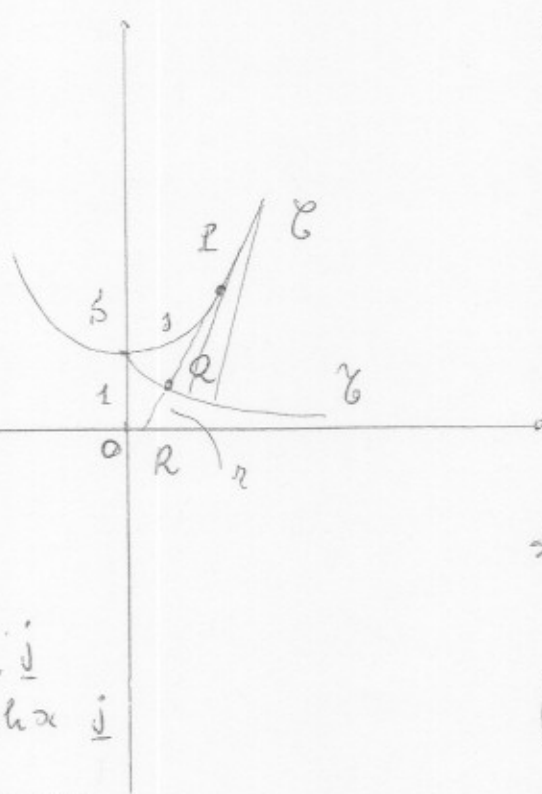
dispone un

filo teso pesante

per x piccoli i

$$y = 1 + \frac{x^2}{2} + \dots$$

e si può approssimare
con un arco di parabola (cf. Galileo)



$$y' = \sinh x$$

* Importante anche
per gli sviluppi
successivi
(principio di Bilzani)

* Lunghezza d'arco della Catenaria

$$s = \ell(\widehat{PS}) = \int_0^x \sqrt{1 + \sinh^2 t} dt = \int_0^x \cosh t dt = \sinh x$$

$$Q = P + (Q - P) = P - \underbrace{\sinh x}_{\frac{dP}{ds}} \frac{dP}{dx} = P + \sinh x \frac{dP}{dx} \frac{dx}{ds}$$

$$= P - \underbrace{\frac{\sinh x}{\cosh x}}_{\tanh x} \frac{dP}{dx} = \underbrace{P \underline{i} + \cosh x \underline{j}}_{(-\tanh x)(\underline{i} + \sinh x \underline{j})}$$

$$= (\alpha - \tanh x) \underline{i} + \left(\cosh x - \frac{\sinh^2 x}{\cosh x} \right) \underline{j} =$$

...
...

$$= (\alpha - \tanh x) i + \frac{\overbrace{\cosh^2 x - \sinh^2 x}^1}{\cosh^2 x} j$$

$$= (\alpha - \tanh x) i + \frac{1}{\cosh x} j \quad \leftarrow \underline{\gamma_{\text{lattice}}}$$

sech x

posto $x=t$

$$\begin{cases} x = t - \tanh t \\ y = \operatorname{sech} t \end{cases} \quad \begin{array}{l} \text{eq. parametriche della} \\ \text{tra M\"aice discusse in precedenza} \end{array}$$

osservazioni [qui $x=t$]

1. Si trova, per la curvatura di γ ,

$$\kappa(x) = \frac{1}{\rho} = \frac{1}{\delta_{\text{cat}}} = \frac{1}{\operatorname{sech} x}$$

Sicché $\kappa = \frac{-\tan x}{\operatorname{sech} x} = \frac{1}{\operatorname{sech} x}$

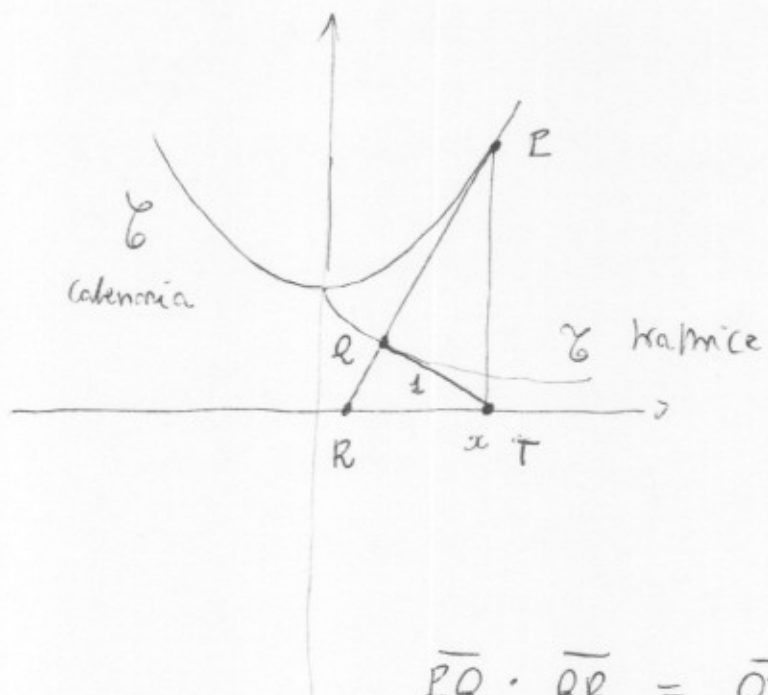
qui trovato

controllo (V. V.18)

$$\tan x = \frac{\operatorname{sech} x}{-\tanh x} = -\frac{1}{\cosh x} \frac{\cosh x}{\operatorname{sech} x} = -\frac{1}{\operatorname{sech} x} \quad \checkmark$$

In definitiva, abbiamo determinato κ in due modi diversi, evitando il calcolo diretto

2. Si noti la configurazione seguente



$$\overline{PQ} \cdot \overline{QR} = \overline{QT}^2 = 1$$

di cruciale importanza per il seguito !!

Esempi

$$P: \quad y^2 = 2px$$

$$\mathcal{E}_P \quad py^2 = 8(x - P)^3 \quad \begin{matrix} \text{parabola} \\ \text{semicubica} \end{matrix}$$

$$\begin{matrix} \mathcal{E} \\ y \end{matrix} \quad \frac{x^2}{a^2} \pm \frac{y^2}{b^2} = 1$$

$$\mathcal{E}_{\mathcal{E}} \quad \begin{matrix} \left(\frac{ax}{c^2}\right)^{\frac{2}{3}} \pm \left(\frac{by}{c^2}\right)^{\frac{2}{3}} = 1 \\ c = a^2 \mp b^2 \end{matrix} \quad \begin{matrix} \text{astroide} \\ \text{cicloide} \end{matrix}$$

γ traiettoria

\mathcal{E}_{γ} catenaria

\mathcal{C} cicloide

$\mathcal{E}_{\mathcal{C}}$: cicloide

Teorema ("Umlaufsatz" di Hopf)

Sia γ ($\gamma: [0, l] \rightarrow \mathbb{R}^2$) liscia, regolare

simplice, chiusa. Allora

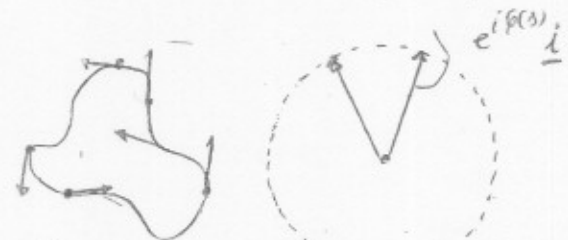
$$\frac{1}{2\pi} \int_0^l R ds = \pm 1 \quad \begin{array}{l} \text{a seconda dell'orientamento} \\ (\text{anticlockwise: } +; \text{ clockwise: } -) \end{array}$$

R = curvatura (con segno)

Commento

$$R = \frac{d\varphi}{ds} \quad \text{se} \quad \text{ricchi} \\ (\text{grapp. } R > 0)$$

$$\frac{1}{2\pi} \int_0^l \frac{d\varphi}{ds} ds = \frac{1}{2\pi} \int_0^{2\pi} d\varphi = +1, \quad \text{dall'angolo: png v-28}$$



Digressione:

φ : funzione angolo

(non è dif fin tutto $\mathbb{R}^2 - \{(0,0)\}$
in modo continuo)

$$\underline{\text{loc}}: \varphi = \arctan \frac{y}{x}$$



per rendere

tagline:

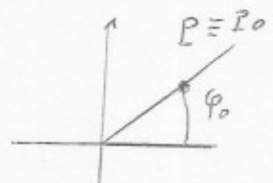
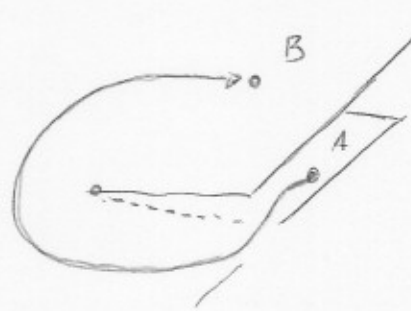
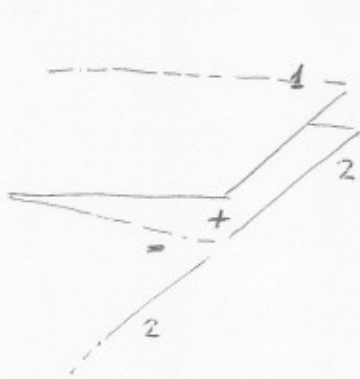
continua fin

costituisce un'opportuna



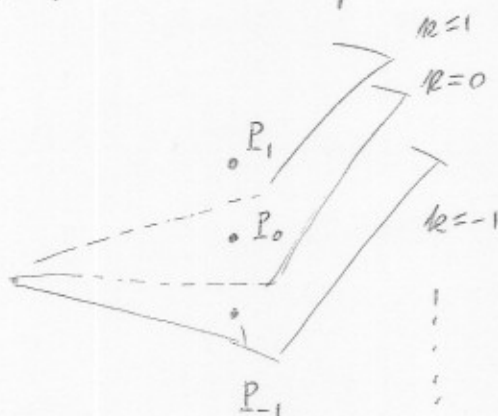
Si farà in ora costituire il limbo inferiore di 1 (-) col limbo superiore di 2 (+)





diverse determinazioni di φ ($= \varphi_0 + 2k\pi$)

\rightsquigarrow diverse "fogli" della superficie di Riemann



Sia $z \in \mathbb{C}^* = \mathbb{C} \setminus \{0\}$

$$\log z = \log |z| e^{i\varphi} = \underbrace{\log |z|}_{\text{log reale}} + \underbrace{\log e^{i\varphi}}_{\substack{\text{vogliamo} \\ \log(z_1 \cdot z_2) = \log z_1 + \log z_2 \dots}} = \log |z| + i\varphi$$

formalmente

logaritmo complesso

vogliamo

$\frac{1}{2} \log(x^2 + y^2) + i \arctan \frac{y}{x}$

\log risulta polidroma (cioè "a più valori")

diviene monodroma (cioè è ben definita, ad un sol valore

(come dev' essere per una funzione!) sulla appropriata

Superficie di Riemann

$$\begin{aligned} \text{Si assume che } d \log z &= \frac{dz}{z} = \frac{\bar{z} dz}{|z|^2} = \frac{(x-iy)(dx+idy)}{x^2+y^2}, & \text{formula chiusa} \\ \frac{x dx + y dy}{x^2+y^2} + i \left(\frac{y dx - x dy}{x^2+y^2} \right) &= \frac{1}{2} \left(\frac{d(x^2+y^2)}{x^2+y^2} + i d\varphi \right) & \text{in } \mathbb{R}^2 \setminus \{(0,0)\} \\ \approx d\varphi & & \text{formula} \end{aligned}$$

Il teorema è ovvio per una circonferenza.

Ora, una curva liscia, regolare, semplice e chiusa C è omotopica ad una circonferenza (C percorsa una volta in

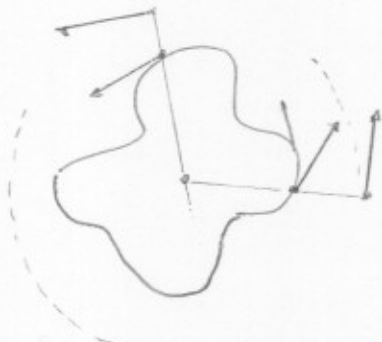
sensu antiorario, per es., fissando un opportuno orientamento)

vale a dire, esiste una funzione continua di classe $C_0([0, 2\pi])$

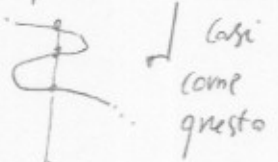
tale che $C_0 = C$, $C_1 = C$

$$\text{se } C_0 = \gamma = \rho = \rho(\varphi), \varphi \in [0, 2\pi]$$

per $0 \leq \sigma \leq 1$ poniamo $\gamma_\sigma : \varphi \mapsto \sigma(R - \rho(\varphi)) + \rho(\varphi)$



ammettiamo di poterla descrivere in coordinate polari escludendo



caso come questo

questi si possono comunque

"taggiustare" operando con deformazioni continue...

$$\text{l'integrale } \frac{1}{2\pi} \int_0^{\ell} k ds = \frac{1}{2\pi} \int_0^{2\pi} d\varphi = I \in \mathbb{Z}$$



$$\text{ma } [0,1] \ni \sigma \mapsto I_\sigma \in \mathbb{Z}$$

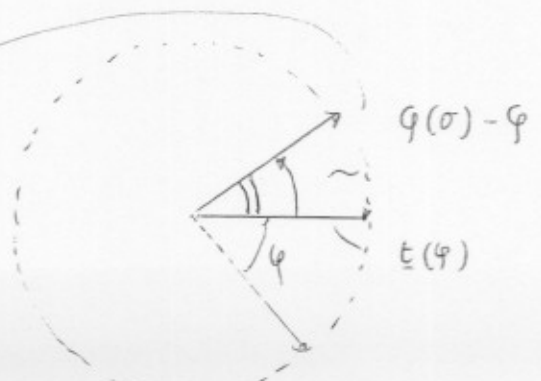
I relativo a γ_0

è senz'altro una funzione continua, a valori inteiri e pertanto è necessariamente costante.

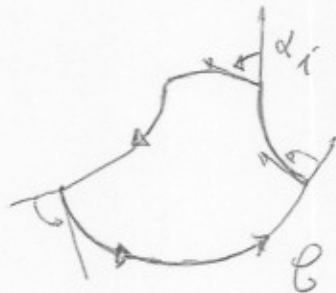
(l'unica gara di $[0,1]$ è continua, pertanto si riduce ad un singolo punto!). Ma per la circonferenza otta $I_2 = +1$, da cui l'assurto.

l'angolo tra le rispettive tangenti

non è mai superiore a 2π , in modulo



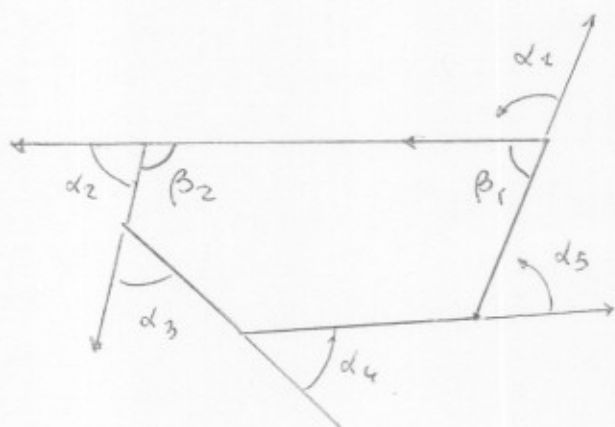
Se \mathcal{C} è regolare a tratti, il teorema di Hopf
diciene



$$\frac{1}{2\pi} \int_{\mathcal{C}} R ds + \sum \alpha_i = \pm 1$$

angoli esterni

(nell'esempio viene $+1$)



corollario: la somma
degli angoli esterni di
un poligono convesso
vale 2π

dim. diretta...



... e, pertanto, la somma
degli angoli interni vale $(n-2)\pi$

dove: Si ha $\alpha_i + \beta_i = \pi$

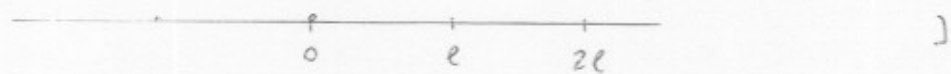
$$\Rightarrow \sum_i \beta_i = \sum_i (\pi - \alpha_i) = n\pi - \underbrace{\sum \alpha_i}_{2\pi} = (n-2)\pi.$$

4 Il teorema dei quattro vertici

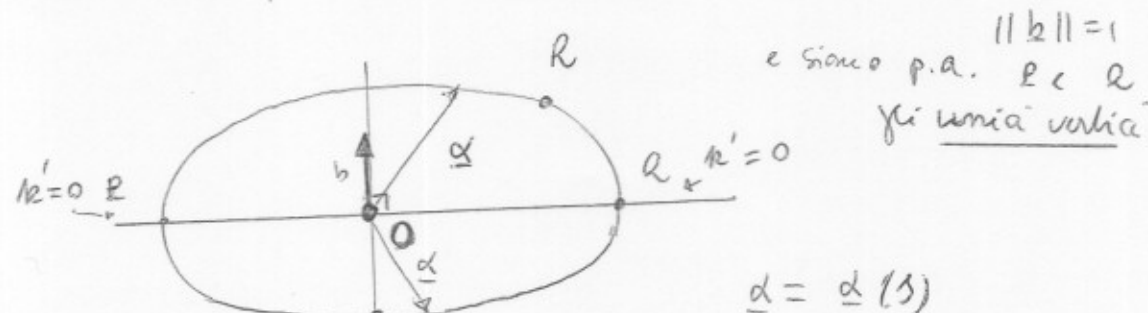
Sia \mathcal{C} una curva liscia, semplice, chiusa, convessa
 (oppure concava)
 Allora essa possiede almeno 4 vertici (\equiv punti in cui $R' = 0$)
 (punti critici della curvatura)

Dim. $R: [0, \ell] \ni s \rightarrow R(s) \in \mathbb{R}$

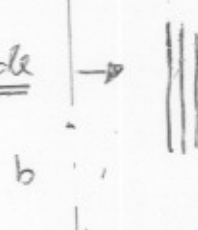
è liscia, $R(0) = R(\ell)$ [\mathcal{C} liscia come f. periodica ...]



In $[0, \ell]$ ammette massimo e minimo assoluto, che possiamo supporre distinti (altrimenti \mathcal{C} sarebbe una circonferenza...) e intorni a t_0, t_1 . Tracciamo PQ , e sia $b \perp PQ$,



Osservazione curiosa



Si può supporre (v. figura)
 che $\langle \underline{\alpha}, \underline{b} \rangle \geq 0$ dà $k' \leq 0$:

$$\begin{aligned} \text{Ora } \int_0^\ell R(s) \underline{\alpha}(s) ds &= \underbrace{\int_0^\ell (R \underline{\alpha})'(s) ds}_{\text{II}} - \int_0^\ell R(s) \underline{\alpha}'(s) ds \\ &= \int_0^\ell \underline{n}'(s) ds = 0 \end{aligned}$$

ma, per come è stato orientato b , l'interpolando
 $e \geq 0$ (ϵ non è id. nullo). Ciò porta ad una
contraddizione.

Quindi deve esistere almeno
un terzo vertice. Ma allora, su due archi
contigui (dai tre individuati da L, Q, R), κ' ha
lo stesso segno. Rasonando come prima, si conclude
che ciò è assurdo. Deve pertanto esistere un quarto vertice. □